



História da Modelagem da Turbulência (I)



- **Boussinesq (1877) propõe que a tensão turbulenta seja representada por um modelo similar a tensão de origem molecular;**
- **O. Reynolds (1895) propõe o conceito de média temporal das equações de N.S. para representar o escoamento médio e suas flutuações;**
- **L. Prandtl (1925) introduz o modelo de comprimento de mistura e uma maneira direta de se calcular a viscosidade turbulenta. Ele se tornou uma das referências em modelagem de turbulência. Conhecido como modelo algébrico ou ‘zero’ equação.**

IM – 450 ‘Modelagem em Turbulência’ - Prof. Eugênio Spanó Rosa FEM/DE UNICAMP



História da Modelagem da Turbulência (II)



- **L. Prandtl (1945) postula um novo modelo de turbulência no qual a viscosidade turbulenta depende da energia cinética. Para tanto ele também modela e propõe uma eq. dif. que representa k . Conhecido como modelo a uma equação. Ele é incompleto pois necessita ainda do comprimento de mistura.**
- **Kolmogorov (1942) propõe o primeiro modelo completo. Adicionalmente a equação de k ele introduziu um segundo parâmetro, a taxa de dissipação de energia, ε . A viscosidade turbulenta é função destes dois parâmetros. Eles são modelados por meio de duas equações diferenciais parciais. Ele é conhecido como o primeiro modelo a duas equações.**
- **Chou (1945) e Rotta (1951) não utilizam a hipótese de Boussinesq mas lançam os alicerces para os modelos de transporte das tensões turbulentas.**

IM – 450 ‘Modelagem em Turbulência’ - Prof. Eugênio Spanó Rosa FEM/DE UNICAMP



História da Modelagem da Turbulência (III)



**Modelos
disponíveis
nos anos 50**

Modelos Algébricos

Modelos com Uma-Equação

Modelos com Duas-Equações

Modelos Transporte das Tensões

IM – 450 'Modelagem em Turbulência' - Prof. Eugênio Spanó Rosa FEM/DE UNICAMP



História da Modelagem da Turbulência (IV)



• Com a evolução do computador nos anos 60, diversos avanços em cada categoria de modelo surgiram:

• **Modelos Algébricos:** VanDriest (1956) amortecimento viscoso; Cebeci e Smith (1974) refinaram modelo viscosidade turb./comp. mistura para ser empregado em qualquer camada limite sem descolamento. Baldwin e Lomax (1978) propuseram modelo alternativo

• **Modelos c/ uma-equação:** não muito empregado por ser incompleto, necessita de uma informação experimental para constituir a viscosidade turbulenta. Brandshaw, Ferriss e Atwell (1967). Spalart e Allmaras propõem um modelo direto para visc. Turbulenta e ganha popularizada pela simplicidade, porém tão limitado quanto os outros.

IM – 450 'Modelagem em Turbulência' - Prof. Eugênio Spanó Rosa FEM/DE UNICAMP



História da Modelagem da Turbulência (V)



Modelos c/ duas-equações:

- *Lauder e Spalding* modelo $k-\epsilon$ (1972);
- *Saffman* modelo $k-\omega$ (1970),
- *Wilcox* modelo $k-w$ (1988)

Modelos de Transporte do Tensor:

- *Daly e Harlow* (1970),
- *Launder, Reeci e Rodi* (1975);
- *Lumley* (1978);
- *Speziale* (1985, 1987 e 1991)

IM – 450 'Modelagem em Turbulência' - Prof. Eugênio Spanó Rosa FEM/DE UNICAMP



Hipótese de Boussinesq



- A primeira tentativa de modelar fenômenos turbulentos foi proposta por Boussinesq (1877).
- Para escoamentos uni-direcionais, típicos de Camada Limite, Boussinesq propôs que a tensão de Reynolds fosse modelada por:

$$\frac{\tau^T}{\rho} = -\overline{uv} = \nu_T \frac{\partial \bar{U}}{\partial y}$$

- de tal modo que a tensão total passa a ser dada pela soma das tensões devido a difusão molecular e turbulenta do momento:

$$\tau = (\tau^L + \tau^T) = \rho(\nu + \nu_T) \frac{\partial \bar{U}}{\partial y}$$

- frequentemente a soma dos coeficientes de difusão é denominado por viscosidade efetiva, $\nu_{\text{eff}} = \nu + \nu_T$, assim:

$$\tau = \rho \nu_{\text{eff}} \frac{\partial \bar{U}}{\partial y}$$

IM – 450 'Modelagem em Turbulência' - Prof. Eugênio Spanó Rosa FEM/DE UNICAMP



Hipótese de Boussinesq (I)



- Focalizando no modelo para a tensão de Reynolds:

$$\frac{\tau^T}{\rho} = -\overline{uv} = \nu_T \frac{\partial \bar{U}}{\partial y}$$

- ele pressupõe que a tensão turbulenta ocorre quando há gradiente de velocidade no campo médio.
- O que é verdadeiro para escoamento na Camada Limite.
- ν_T é a viscosidade turbulenta. Diferentemente da viscosidade molecular (laminar) ela é uma propriedade do escoamento e não do fluido.
- Ela depende dos mecanismos de transporte turbulento e portanto deve ser modelada.

IM - 450 'Modelagem em Turbulência' - Prof. Eugênio Spanó Rosa FEM/DE UNICAMP



Hipótese de Boussinesq (III)



- A hipótese de Boussinesq foi generalizada por Kolmogorov (1942) e atualmente é amplamente utilizada em modelagem de escoamentos turbulentos.
- Postulando que o tensor turbulento possa ser escrito de forma similar ao tensor de um fluido Newtoniano, foi proposta a forma abaixo:

$$-\rho \overline{u_i u_j} = A \delta_{ij} + \mu_T \left[\frac{\partial \bar{U}_i}{\partial x_j} + \frac{\partial \bar{U}_j}{\partial x_i} \right] = A \delta_{ij} + 2\mu_T S_{ij}$$

Fazendo $i = j$ na relação e somando para $i=1$ a 3 , tem-se que:

$$A = -\frac{2}{3}(\rho k + \mu_T \cdot \nabla \bar{V}); \quad k = \frac{1}{2} \sum_i \overline{(u_i')^2}$$

- O eixo principal do tensor de Reynolds é paralelo ao eixo principal da taxa média de deformação do fluido, S_{ij}

IM - 450 'Modelagem em Turbulência' - Prof. Eugênio Spanó Rosa FEM/DE UNICAMP



Hipótese de Boussinesq (IV)



- Para escoamentos incompressíveis, o tensor de Reynolds é expresso por:

$$\tau_{ij}^T = -\overline{\rho u_i u_j} = -\frac{2}{3}\rho k \delta_{ij} + 2\mu_T S_{ij}$$

Isto é uma direta analogia com a tensão – deformação para um fluido Newtoniano:

$$\tau_{ij}^L = -P \delta_{ij} + 2\mu S_{ij}$$

- o tensor das tensões de origem laminar e turbulenta passa a ser:

$$\tau_{ij} = \left(P + \frac{2}{3}\rho k \right) \delta_{ij} + (\mu + \mu_T) 2S_{ij}$$



Hipótese de Boussinesq (IV)



- O eixo principal do tensor de Reynolds é paralelo ao eixo principal da taxa média de deformação do fluido, S_{ij}
- Dados experimentais revelaram que isto não se confirma na totalidade dos casos.
- Isto deve-se ao fato que enquanto S_{ij} pode alterar seu valor instantâneo devido a aplicação de forças, o tensor de Reynolds requer 'um tempo de relaxação' para atingir o novo valor S_{ij}
- Conseqüentemente o modelo constitutivo da viscosidade turbulenta de Kolmogorov-Boussinesq não resolve bem para escoamentos onde existem fortes mudanças de curvaturas (p. ex.: recirculações, contrações abruptas, vórtices turbulentos, etc)

- A hipótese de Boussinesq resulta em um modelo ‘isotrópico’ das tensões normais.
- Isto pode ser observado, por exemplo, no escoamento desenvolvido em dutos e também em camadas limites 2D.
- No primeiro caso o gradiente de velocidade na direção do escoamento é nulo e no segundo, em geral, muito pequeno.
- Nestas condições as tensões normais nas três direções são idênticas entre si e iguais a $(2/3)$ de k :

$$\overline{uu} = \overline{vv} = \overline{ww} = \frac{2}{3} k$$

IM – 450 ‘Modelagem em Turbulência’ - Prof. Eugênio Spanó Rosa FEM/DE UNICAMP

- Observando-se medidas experimentais da intensidade de turbulência, nota-se que em nenhum dos casos as intensidades (tensões normais) são idênticas entre si.

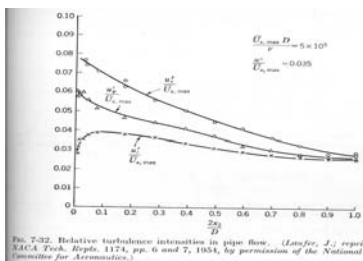


Fig. 7-32. Relative turbulence intensities in pipe flow. (Laufer, J., reprint NACA Tech. Rep. 1174, pp. 6 and 7, 1953, by permission of the National Advisory Committee for Aeronautics.)

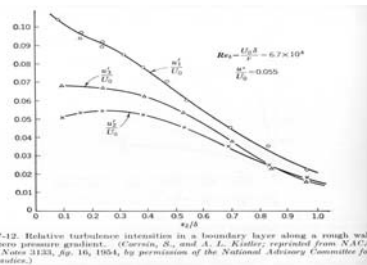


Fig. 7-12. Relative turbulence intensities in a boundary layer along a rough wall with zero pressure gradient. (Corcos, S., and A. L. Kuller, reprint from NACA Tech. Note 3133, pp. 18, 1964, by permission of the National Advisory Committee for Aeronautics.)

Para a camada limite em uma placa plana a razão entre as tensões

$$\overline{uu} : \overline{vv} : \overline{ww} = 4 : 2 : 3$$

Estas razões para a C.L. são dependentes do gradiente de pressão.



Tensor Anisotrópico



- Reconhecendo que $(2/3)k\delta_{ij}$ representa o tensor isotrópico das tensões normais, o tensor desvio isotrópico é definido por:

$$a_{ij} = \overline{u_i u_j} - \frac{2}{3}k\delta_{ij}$$

Ou normalizando com relação a k:

$$b_{ij} = \frac{a_{ij}}{2k} \equiv \frac{\overline{u_i u_j}}{\overline{u_k u_k}} - \frac{1}{3}\delta_{ij}$$

Em termos dos tensores anisotrópicos, o tensor de Reynolds fica sendo:

$$\overline{u_i u_j} = a_{ij} + \frac{2}{3}k\delta_{ij} \equiv 2k \cdot \left(b_{ij} + \frac{1}{3}\delta_{ij} \right)$$



Tensor Anisotrópico



- Somente a componente anisotrópica do tensor de Reynolds é efetiva para transportar momento.
- O termo do lado direito da equação média de N-S é:

$$\rho \frac{\partial \overline{u_i u_j}}{\partial x_i} + \frac{\partial P}{\partial x_j} \equiv \rho \frac{\partial a_{ij}}{\partial x_i} + \frac{\partial}{\partial x_j} \left(P + \frac{2}{3}k \right)$$

- Mostrando que a componente isotrópica $(2/3)k$ pode ser absorvida na pressão média modificada.



Difusão Turbulenta de um Escalar



- A difusão turbulenta de um escalar também baseia-se na hipótese de Bousinesq.
- O fluxo médio devido a flutuação de um escalar (temperatura, energia cinética, concentração, etc) ocorre na mesma direção e sentido do gradiente do campo médio deste escalar:

$$\overline{u_i \phi'} = -\Gamma_T \frac{\partial \Phi}{\partial x_i} \equiv -\Gamma_T \nabla \Phi; \quad \text{onde } \phi = \phi' + \Phi$$

- Matematicamente a hipótese gradiente-difusão é análoga a lei de Fourier da condução térmica, e Γ é sempre uma constante positiva.

IM - 450 'Modelagem em Turbulência' - Prof. Eugênio Spanó Rosa FEM/DE UNICAMP



Fluxo de Calor Turbulento



- O fluxo de calor turbulento é a energia transportada pelos turbilhões:

$$\dot{q}_i''^T = -\rho C_p \cdot \overline{u_i t'} = -k_T \frac{\partial T}{\partial x_i}$$

- onde k_T é a condutividade térmica turbulenta. Ela também pode ser expressa por meio da difusividade térmica turbulenta, α_T :

$$\dot{q}_i''^T = -\rho C_p \alpha_T \frac{\partial T}{\partial x_i}$$

- e introduzindo o Prandtl turbulento, o fluxo de calor passa a ser:

$$\dot{q}_i''^T = -\rho C_p \left(\frac{\nu_T}{Pr_t} \right) \frac{\partial T}{\partial x_i}$$

- o fluxo de calor total, oriundo das contribuições devido a difusão molecular e das flutuações é

$$\dot{q}_i'' = -\rho C_p \left(\alpha + \frac{\nu_T}{Pr_t} \right) \frac{\partial T}{\partial x_i}$$

IM - 450 'Modelagem em Turbulência' - Prof. Eugênio Spanó Rosa FEM/DE UNICAMP

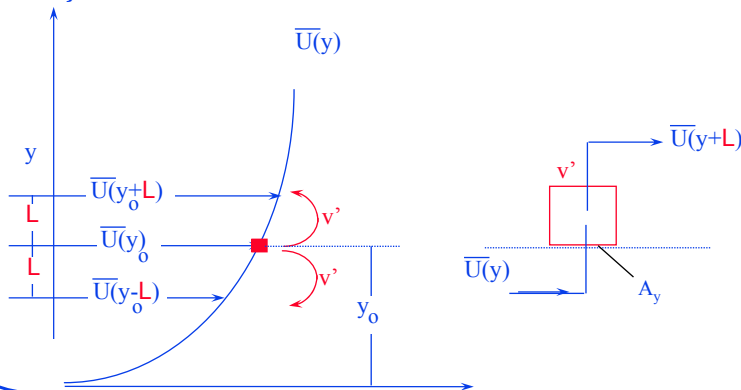
Modelo Zero Equação:

Comprimento de Mistura de Prandtl

IM – 450 'Modelagem em Turbulência' - Prof. Eugênio Spanó Rosa FEM/DE UNICAMP

Comprimento de Mistura de Prandtl

- Prandtl (1927) propôs o primeiro modelo de turbulência conhecido como comprimento de mistura.
- Suponha que uma porção do fluido que se desloca com sua velocidade média $\bar{U}(y_0)$ é deslocado transversalmente devido a flutuação de velocidade v'



IM – 450 'Modelagem em Turbulência' - Prof. Eugênio Spanó Rosa FEM/DE UNICAMP



Comprimento de Mistura de Prandtl



- O fluxo de momento é equivalente a tensão fluante:

$$\tau'_{yx} \cong \left(\frac{\dot{m}}{A_y} \right) \cdot \Delta U = -(\rho v') \cdot \left(L \cdot \frac{d\bar{U}}{dy} \right)$$

o seu valor médio:
$$\tau_{yx}^T = \rho \cdot \overline{v' L} \cdot \frac{d\bar{U}}{dy} \cong -\rho \overline{u' v'}$$

- É esperado que a correlação entre $v' L$, para um ponto que se move no escoamento, diminua a medida que a distância viajada pelo turbilhão cresce.

- Isto é, para um dado y_0 a influência de v' no fluxo de momento diminui a medida que a distância viajada, L , aumenta. Do contrário ela cresceria indefinidamente enquanto L aumentasse (situação não realística)!

IM – 450 'Modelagem em Turbulência' - Prof. Eugênio Spanó Rosa FEM/DE UNICAMP



Comprimento Mistura Prandtl - cont.



- Pode-se estimar que v' e L apresentem correlação para valores de L comparáveis a um comprimento transversal característico do escoamento, l , chamado de comprimento de mistura, isto é a média $v' L$ é igual ao produto $l \cdot \text{rms } v'$ vezes um fator de correlação:

$$\overline{v' L} = c \cdot l \cdot \sqrt{\overline{v'^2}}$$

- Substituindo na expressão para a tensão média:

$$\overline{\tau'_{yx}} = \rho \cdot \sqrt{\overline{v'^2}} \cdot l \cdot \frac{d\bar{U}}{dy} \cong -\rho \overline{u' v'}$$

- Observa-se que a parte de u' que se correlaciona com v' é da ordem de:

$$\sqrt{\overline{u'^2}} \approx l \cdot d\bar{U}/dy$$

IM – 450 'Modelagem em Turbulência' - Prof. Eugênio Spanó Rosa FEM/DE UNICAMP



Comprimento Mistura Prandtl - cont.



- Considerando que u' e v' são fortemente correlacionados e possuem a mesma ordem de grandeza, $\overline{u'^2} \approx \overline{v'^2}$ então

$$\sqrt{\overline{u'^2}} \approx \sqrt{\overline{v'^2}} \approx \ell \cdot \frac{d\overline{U}}{dy}$$

- A tensão turbulenta pode ser dada em termos do gradiente da velocidade média e do comprimento de mistura:

$$\overline{\tau'_{yx}} = -\rho \overline{u'v'} = \rho \ell^2 \cdot \frac{d\overline{U}}{dy} \cdot \left| \frac{d\overline{U}}{dy} \right|$$

- O módulo de dU/dy é utilizado para fazer que τ mude de sinal com o gradiente.
- A expressão acima foi originalmente proposta por Prandtl,
- Resta definir um modelo para o comprimento de mistura.

IM - 450 'Modelagem em Turbulência' - Prof. Eugênio Spanó Rosa FEM/DE UNICAMP



Comprimento de Mistura & Visc. Turbulenta



- A viscosidade turbulenta pode ser expressa por meio do comprimento de mistura igualando-se as expressões:

$$\overline{\tau'_{yx}} = \mu_T \cdot \frac{d\overline{U}}{dy} = \rho \ell^2 \cdot \frac{d\overline{U}}{dy} \cdot \left| \frac{d\overline{U}}{dy} \right| \rightarrow \mu_T = \rho \ell^2 \cdot \left| \frac{d\overline{U}}{dy} \right|$$

- A razão entre a tensão turbulenta e a viscosa pode ser dada pelo Re que por sua vez expressa uma razão entre as viscosidades turbulenta e molecular:

$$\frac{\overline{\tau'}}{\mu \cdot d\overline{U}/dy} = \frac{\mu_T}{\mu} = \frac{\rho \ell \cdot \sqrt{\overline{u'^2}}}{\mu} = \underbrace{\frac{\rho \ell \cdot \sqrt{\overline{u'^2}}}{\mu}}_{Re_t} \cong \frac{\ell u^*}{\nu} \gg 1$$

- Quando $Re_t \gg 1$ a tensão turbulenta \gg tensão viscosa, neste caso os termos viscosos podem ser desprezados. A dependência da viscosidade molecular ocorre somente quando os comprimentos característicos: ℓ e ν/v' forem da mesma ordem de magnitude!

IM - 450 'Modelagem em Turbulência' - Prof. Eugênio Spanó Rosa FEM/DE UNICAMP



Comprimento de Mistura & Visc. Turbulenta



- A viscosidade turbulenta é dada pelo gradiente do campo médio e pelo comprimento de mistura:

$$\mu_T = \rho \ell^2 \cdot \left| \frac{d\bar{U}}{dy} \right|$$

- A expressão acima é válida quando o tensor de deformação, S_{ij} , apresenta uma única componente significativa, típico de escoamentos em C. L.
- Uma generalização para aplicar o comprimento de mistura para campos complexos onde S_{ij} apresenta diversas componentes não-nulas, é:

$$\mu_T = \rho \ell^2 \cdot \sqrt{S_{ij} S_{ij}} = \rho \ell^2 \cdot S$$

IM – 450 'Modelagem em Turbulência' - Prof. Eugênio Spanó Rosa FEM/DE UNICAMP



Comprimento de Mistura & Visc. Turbulenta



- A generalização do modelo de comprimento de mistura é aplicável para qualquer escoamento turbulento.
- Sua maior limitação é que ℓ deve ser especificado!
- A especificação correta depende da geometria do escoamento e, portanto, não é universal.
- Para escoamentos complexos o emprego de ℓ requer uma grande dose de experimentalismo e 'adivinhação'.
- Porém, para uma série de escoamentos simples e tecnologicamente relevantes, ℓ é bem estabelecido.

IM – 450 'Modelagem em Turbulência' - Prof. Eugênio Spanó Rosa FEM/DE UNICAMP



Comprimento Mistura e a Lei Log



• Definindo a tensão turbulenta, τ_t , em função do comprimento de mistura, e o gradiente da vel. média pelo perfil universal (lei log), considerando também que $Re \gg 1$, de maneira que a tensão turbulenta predomina sobre a tensão viscosa, então:

$$\overline{\tau_t} = \rho \ell^2 \cdot \frac{d\overline{U}}{dy} \cdot \left| \frac{d\overline{U}}{dy} \right| \cong \rho \ell^2 \cdot \left(\frac{u^*}{\kappa y} \right)^2$$

ou:

$$(\kappa y) \sqrt{\frac{\tau_t}{\tau_w}} = \ell$$

• Mas reconhecendo-se que a tensão na sub-camada inercial é aproximadamente constante e igual a τ_w , chega-se a proposição de Prandtl, isto é $\tau_t = \tau_w \rightarrow \ell = \kappa y$



Comprimento Mistura e a Lei Log



• **Para a sub-camada inercial**, $y/\delta \ll 1$ e $yv^*/\nu \gg 1$, o comprimento de mistura, ℓ , é linear com a distância da parede:

$$\ell = k \cdot y$$

onde $k = 0.41$ (Von Kármán).

• Este modelo aplica-se à sub camada inercial. Há que se ter em mente que a presença de gradiente externo de pressão adversos reduzem o tamanho da zona sub-inercial e aumenta a zona externa (esteira).

• O modelo $\ell = k \cdot y$ não pode ser integrado a partir de $y = 0$, isto é, da parede. Note que ele satisfaz somente o perfil log.



Comp. Mistura camada viscosa, $y^+ < 30$



- Para a camada viscosa, $y^+ < 30$, os efeitos de difusão molecular e turbulenta são de mesma ordem de magnitude.
- Porém, a medida que se aproxima da parede as flutuações de velocidade são amortecidas! Para $y^+ < 5$, elas já são desprezíveis e os efeitos de difusão molecular dominam o escoamento.
- Van Driest (1956) concebeu que o amortecimento das flutuações de velocidade na parede quando $y^+ < 30$ baseado numa analogia com o primeiro problema de Stokes: placa plana infinita com oscilação harmônica num fluido estacionário em meio infinito.
- Stokes mostrou que a amplitude da oscilação decai com a distância da placa proporcional a $\exp(-y/A)$ onde A é uma constante que depende de ν e da frequência oscilação.
- O inverso, quando a placa é estacionária e o fluido oscila, a amplitude da oscilação decai pelo fator: $(1 - \exp(-y/A))$.

IM - 450 'Modelagem em Turbulência' - Prof. Eugênio Spanó Rosa FEM/DE UNICAMP



Comp. Mistura camada viscosa, $y^+ < 30$



- Van Driest (1956) fundiu, em uma única expressão para o comprimento de mistura l , as duas expressões para as camadas viscosa e log introduzindo um fator de amortecimento devido a presença da parede:

$$l = \kappa y \left[1 - \exp\left(-\frac{y^+}{A}\right) \right]$$

válido da parede, $y^+ = 0$, até a sub camada inercial ($y^+ < 200$). A é uma constante que depende do gradiente de pressão:

$$A \cong \frac{25}{[1 + a \cdot b \cdot p^+]}; \text{ onde } p^+ = \frac{\nu}{\rho \cdot v_*^3} \cdot \frac{dP_e}{dx}$$

$$a = 7.1; b = 2.9 \text{ se } p^+ > 0 \text{ e } b = 4.25 \text{ se } p^+ < 0$$

em particular para a placa plana, $A=25$

IM - 450 'Modelagem em Turbulência' - Prof. Eugênio Spanó Rosa FEM/DE UNICAMP



Limite Assintótico para l quando $y \rightarrow 0$



- Van Driest propôs que o comprimento de mistura l , amortecido pela presença da parede, apresenta um decaimento exponencial de acordo com a expressão:

$$l = \kappa y \left[1 - \exp\left(-\frac{y^+}{A}\right) \right]$$

- Uma expressão aproximada para l , quando $y \rightarrow 0$ é obtida expandindo-se a função exponencial em série de Taylor:

$$\exp(x) = 1 + x + \frac{x^2}{2!} + \frac{x^3}{3!} + \dots \quad p/ \ x \rightarrow 0; \quad \exp(x) \cong 1 + x$$

- Substituindo-se para l , encontra-se que o comprimento de mistura varia com o quadrado da distância da parede quando $y^+ \ll 1$.

$$l \cong y^2$$

IM – 450 'Modelagem em Turbulência' - Prof. Eugênio Spanó Rosa FEM/DE UNICAMP



Limite da Tensão Reynolds para $y \rightarrow 0$



- Na parede, $y = 0$, $u' = 0$. Mas não há nenhuma necessidade que du'/dy seja nula também, então pode-se concluir que $u' \propto y$
- Como as flutuações de velocidade também satisfazem a continuidade, então $v' \propto y^2$ e a componente transversal, $w' \propto y$.
- Pode-se concluir então que o limite assintótico para energia cinética e tensão turbulenta para $y \rightarrow 0$ é:

$$k \approx \overline{u'^2} \approx y^2 \quad \& \quad \tau \approx \overline{u'v'} \approx y^3$$

- O amortecimento de Van Driest para $y \rightarrow 0$ resulta numa tensão proporcional a:

$$\tau_t = \rho \ell^2 \cdot \frac{d\bar{U}}{dy} \cdot \left| \frac{d\bar{U}}{dy} \right| \cong \rho (\kappa y^2)^2 \cdot \left(\frac{U}{y} \right)^2 \approx y^2$$

IM – 450 'Modelagem em Turbulência' - Prof. Eugênio Spanó Rosa FEM/DE UNICAMP



Limite da Tensão Reynolds para $y \rightarrow 0$



- Os resultados das duas análises assintóticas para t estão em conflito!
- Resultados simulações DNS indicam realmente que $\tau_{xy} \propto y^3$ para $y \rightarrow 0$.
- No entanto, Hinze (1975) mostrou que para o limite $y \rightarrow 0$, o coeficiente do termo cúbico é muito menor que do termo de segunda potência de tal modo que as medidas experimentais para $y \rightarrow 0$ estão mais próximas de $\tau_{xy} \propto y^2$ do que para $\tau_{xy} \propto y^3$
- Isto coincide com o limite assintótico ajustado por VanDriest:
 - $\tau_{xy} \propto y^2$
- e mostra que o modelo de Van Driest melhora a capacidade descritiva do modelo de comprimento de mistura para as tensões de Reynolds próximo as paredes

IM – 450 'Modelagem em Turbulência' - Prof. Eugênio Spanó Rosa FEM/DE UNICAMP



Comprimento Mistura Camada Externa



- Clauser (1956) propôs uma forma adequada para a viscosidade turbilhonar na camada externa.
- De maneira similar a forma especial de ν_t que Prandtl propôs para escoamentos sem presença de paredes sólidas (free shear flows), Clauser sugere que:

$$\nu_{T0} = \alpha U_e \delta^*$$

- onde ν_{T0} é a viscosidade na porção externa da C.L.; δ^* é a espessura de deslocamento; U_e é a vel. externa da C.L. e α uma constante para fechamento do modelo.

IM – 450 'Modelagem em Turbulência' - Prof. Eugênio Spanó Rosa FEM/DE UNICAMP



Comprimento Mistura Camada Externa



- Escudier (1966) encontrou uma melhora na capacidade preditiva do modelo limitando o valor máximo do comprimento de mistura:

$$(\ell_{\text{mix}})_{\text{max}} = 0.09 \cdot \delta$$

onde δ é a espessura da camada limite.

- O modelo de comprimento de mistura, apesar de ser capaz de representar diversos escoamentos simples, não possui constantes universais (aplicáveis para quaisquer tipo de escoamentos). Neste caso o melhor da idéia de Escudier é tomar que o comprimento de mistura na camada externa pode ser modelado por:

$$(\ell_{\text{mix}})_{\text{max}} = \lambda \cdot \delta$$

onde λ é uma constante que varia dependendo do tipo de escoamento.

IM – 450 'Modelagem em Turbulência' - Prof. Eugênio Spanó Rosa FEM/DE UNICAMP



Intermitência na Camada Limite

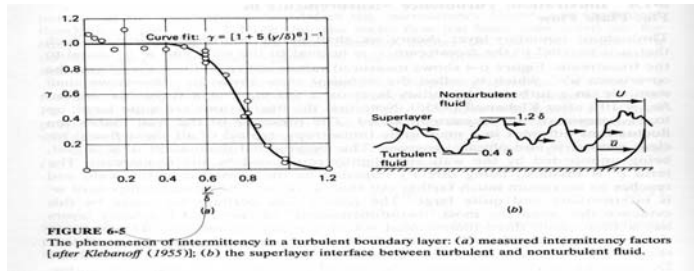


- Corsin e Kistler (1954) e Klebanoff (1955) realizaram experimentos relativos a intermitência entre escoamento turbulento e laminar apresentado pela C.L. a medida que se aproxima de δ .
- Os experimentos revelaram que a camada turbulenta varia de 0.4δ a 1.2δ , onde δ é a espessura média da C.L. Ela tem a forma irregular e se propaga com velocidade de $0.98 U_e$.
- A intermitência γ , é a fração do tempo total que o escoamento encontrou-se no regime turbulento.

IM – 450 'Modelagem em Turbulência' - Prof. Eugênio Spanó Rosa FEM/DE UNICAMP

- Como não é esperado que o fluido externo à C.L. tenha viscosidade turbulenta, o fator de intermitência deve ser multiplicado a ela:

$$F_{\text{Kleb}}(y; \delta) = \left[1 + 5.5 \left(\frac{y}{\delta} \right)^6 \right]^{-1}$$



IM - 450 'Modelagem em Turbulência' - Prof. Eugênio Spanó Rosa FEM/DE UNICAMP

Eq. Constitutivas para Comp. Mistura - cont.

- Para a camada externa, $y/\delta \cong 1$ e $yv^*/\nu \gg 1$, o comprimento de mistura, l , é constante e depende de uma dimensão característica do escoamento.
- Para escoamentos tipo camada limite, l é proporcional a espessura da camada limite, em jatos livres l é proporcional a largura do jato.

$$l = \text{constante} \approx \delta$$

Valores de l para escoamentos sem paredes sólidas

	Correntes paralelas	jato plano	jato axi-simétrico	esteira plana
l/δ	0.07	0.09	0.075	0.16

onde δ é definida como sendo a espessura da camada limite - distância onde a vel. difere 1% vel. máx ou da corrente livre, dependendo do caso.



Eq. Constitutivas para Comp. Mistura - cont.

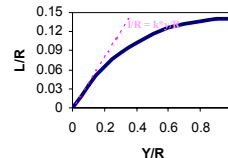


- Para camadas limites com presença de paredes sólidas é sugerido que na camada externa:

$$\frac{\ell}{\delta} \cong 0.09$$

- Nikuradse realizou diversas medidas experimentais em escoamentos desenvolvido em tubos e sugere a expressão:

$$\frac{\ell}{R} = 0.14 - 0.08 \cdot \left(1 - \frac{y}{R}\right)^2 - 0.06 \cdot \left(1 - \frac{y}{R}\right)^4$$



onde R é o raio do tubo ou a metade da altura de um canal 2-D fechado ou a altura completa de um canal aberto. Para pontos muito próximos da parede sugere-se a aplicação rel. van Driest.

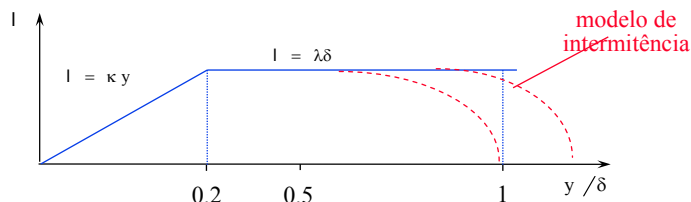


Comprimento Mistura na Presença de Paredes Sólidas : Composição



- Em escoamentos com presença de parede sólida as expressões do comprimento de mistura, apropriadas para as diversas camadas (interna, overlap e externa) devem ser convenientemente acopladas.

- Patankar e Spalding , após numerosos testes, constataram que uma função rampa constitui um bom modelo.



- Este modelo pode ser ainda refinado se for introduzido, próximo ao limite externo da C.L. um decaimento de l devido a intermitência.



- Uma das maiores restrições ao modelo de comprimento de mistura é que a viscosidade turbulenta desaparece quando o gradiente de velocidades é nulo!

$$v_t = \ell^2 \cdot \frac{d\bar{U}}{dy} \qquad v_t = \sqrt{v'^2} \cdot \ell$$

- Na realidade para o centro do tubo (onde $dU/dy=0$) v_t é cerca de 20% menor que o seu máximo valor!. Para cálculo da tensão não há problema porque o gradiente é nulo mas para transporte de calor isto traz problemas porque impede que o calor seja transportado de uma parede para outra.
- O modelo de comprimento de mistura é um modelo de equilíbrio local, isto é: localmente a turbulência produzida é dissipada, produção e dissipação estão em balanço localmente. Portanto não há transporte de turbulência uma região para outra.



- Em um duto ou canal, a turbulência é de fato, produzida próximo às paredes e transportada por difusão ao centro do duto; o modelo de comprimento de mistura não considera o transporte difusivo e portanto estima que no centro do duto não há turbulência

$$\sqrt{v'^2} \cong \ell \cdot \frac{d\bar{U}}{dy} \qquad \text{se } dU/dy = 0 \text{ então } v'^2=0??$$

- O modelo de comprimento de mistura não é adequado quando o transporte difusivo e convectivo de turbulência são importantes (escoamentos c/ recirculação onde existem zonas com gradiente do campo médio nulo)
- Ele é adequado para escoamentos simples tipo camada limite 'shear flows' onde há somente uma direção principal, uma velocidade característica.



• Próximo de paredes, $30 < y^+ < 100$, a tensão turbulenta é aproximadamente constante e o escoamento está em equilíbrio local, isto é, a produção de turbulência é igual a sua dissipação.

• A produção é dada por:
$$P = \overline{u'v'} \cdot \frac{d\overline{U}}{dy} = \varepsilon$$

• Utilizando o perfil log obtêm para $dU/dy = u^*/\kappa y$ e para a correlação cruzada $uv \cong u^{*2}$, assim a dissipação, na condição de equilíbrio, é dada por:

$$\varepsilon = \frac{u^{*3}}{\kappa y} \quad \text{onde } u^* \text{ é a velocidade de atrito.}$$

• Alguns valores rms típicos para sub-camada inercial em relação a velocidade de atrito são:

$$\sqrt{u'^2} \cong 2 \cdot u^*; \quad \sqrt{v'^2} \cong 0.8 \cdot u^*; \quad \sqrt{w'^2} \cong 1.4 \cdot u^*; \quad k \cong 3.5 \cdot u^{*2} \text{ e } \overline{u'v'} \cong 2 \cdot u^{*2};$$

• A energia cinética turbulenta na sub-camada inercial pode ser estimada em:

$$k = 3.5 \cdot u^{*2} = u^{*2} / \sqrt{C_\mu}$$



Escoamento nas Camadas Viscosa e Log – Couette Flow



- Nestas duas camadas o escoamento não sente o efeito dos termos inerciais. Esta região pode chegar a 25% da camada limite.
- Nela o escoamento é governado pela tensão e gradiente de pressão (dependência fraca); os gradientes transversais são muito maiores que os gradientes na direção do escoamento:

$$\rho U \frac{\partial U}{\partial x} + \rho V \frac{\partial U}{\partial y} = - \frac{\partial P}{\partial x} + \frac{\partial \tau}{\partial y}$$

- Nestas camadas o termo $UdU/dx \ll 1$, $U = U(y)$, e $v = V_0$, velocidade normal a parede (igual a zero a menos que a injeção ou sucção de massa), nestas condições a equação se reduz para:

$$\rho V_0 \frac{\partial U}{\partial y} = - \frac{\partial P}{\partial x} + \frac{\partial \tau}{\partial y}$$



Escoamento nas Camadas Viscosa e Log – Couette Flow



- Integrando-se da parede ($y = 0$, $\tau = \tau_w$ e $U = 0$) até uma distância y a equação:

$$\rho V_0 \frac{\partial U}{\partial y} = - \frac{\partial P}{\partial x} + \frac{\partial \tau}{\partial y}$$

- Se encontra:
$$\frac{\tau}{\tau_w} = 1 + \frac{\rho V_0 U(y)}{\tau_w} + \frac{dP}{dx} \cdot \frac{y}{\tau_w}$$

- A equação acima é válida somente para região $y^+ < 200$.
- Note que aproximando da borda externa da camada limite, τ/τ_w deve se aproximar de zero.
- Isto não é possível de se realizar na equação da aproximação de Couette.

IM – 450 'Modelagem em Turbulência' - Prof. Eugênio Spanó Rosa FEM/DE UNICAMP



Escoamento nas Camadas Viscosa e Log – Couette Flow



- Adimensionalizando-se a equação em termos das variáveis internas,

$$y^+ = y u^* / \nu = y U_\infty \sqrt{C_f} / 2 / \nu$$

$$V_0^+ = V_0 / u^* = (V_0 / U_\infty) / \sqrt{C_f} / 2$$

$$\tau_w / \rho = C_f U_\infty^2 / 2 = u^{*2}$$

$$u^+ = U / u^*$$

$$P^+ = \nu (dP/dx) / u^{*3}$$

- Se encontra:
$$\frac{\tau}{\tau_w} = 1 + V_0^+ u^+ + P^+ y^+$$

IM – 450 'Modelagem em Turbulência' - Prof. Eugênio Spanó Rosa FEM/DE UNICAMP



Escoamento nas Camadas Viscosa e Log – Couette Flow



- Sem injeção de massa nem gradiente de pressão, a equação de Couette mostra que a razão das tensões é constante:

$$\frac{\tau}{\tau_w} = 1$$

- Nosso modelo para tensão é composto por uma parcela da tensão laminar e outra da tensão turbulenta:

$$\frac{\tau}{\rho} = (v_L + v_T) \frac{dU}{dy}$$

- Para sub-camada laminar, $y^+ < 5$, $v_L \gg v_T$ e portanto:

$$U = \frac{\tau_w}{\rho v_L} y \rightarrow u^+ = y^+$$



Escoamento nas Camadas Viscosa e Log – Couette Flow



- Para camada Log, $y^+ > 30$, $v_L \ll v_T$ e portanto:

$$\frac{\tau_w}{\rho} = v_T \frac{dU}{dy} = \ell^2 \left(\frac{dU}{dy} \right)^2 = (\kappa y)^2 \left(\frac{dU}{dy} \right)^2$$

ou

$$\frac{du^+}{dy^+} = \frac{1}{\kappa y^+} \rightarrow \int_{10.8}^{u^+} du^+ = \frac{1}{\kappa} \int_{10.8}^{y^+} \frac{dy^+}{y^+}$$

- Onde o limite inferior da integral é um valor dentro da camada viscosa que fornece o valor correto da constante linear da lei log.

$$u^+ = \frac{1}{\kappa} \text{Ln} y^+ + 5.0$$

- $y^+=10.8$ representa '*artificialmente*' a espessura da sub-camada viscosa se for empregado num modelo de duas camadas: uma que contenha somente efeitos moleculares e outra com as flutuações.



Escoamento nas Camadas Viscosa e Log – Couette Flow



- Empregando o amortecimento de Van Driest pode-se fazer a análise da parede ($y^+ = 0$ até $y^+ = 200$):

$$\frac{\tau_w}{\rho} = (v_L + v_T) \frac{dU}{dy} = \left[v_L + \ell^2 \left(\frac{dU}{dy} \right) \right] \frac{dU}{dy}$$

Substituindo o comprimento de mistura, $l = \kappa y(1 - \exp(-y^+/A))$ e, após considerável álgebra, o perfil de velocidades é dado por:

$$u^+ = \int_0^{y^+} \frac{2dy^+}{1 + \left\{ 1 + \kappa^2 y^{+2} \left[1 - \exp(y^+/A) \right]^2 \right\}^{1/2}}$$

- Para $A = 25$, a sub-camada viscosa, o buffer e a camada log são reproduzidas corretamente incluindo a constante B da lei log, $B \sim 5.0$. Se o valor de A não estiver certo, o valor de B muda!

IM – 450 'Modelagem em Turbulência' - Prof. Eugênio Spanó Rosa FEM/DE UNICAMP



Trans Calor nas Camadas Viscosa e Log – Couette Flow



- A equação da energia passa a ser:

$$U \frac{\partial T}{\partial x} + V \frac{\partial T}{\partial y} = - \frac{1}{\rho C_p} \frac{\partial \dot{q}''}{\partial y}$$

- onde \dot{q}'' representa o fluxo de calor total, laminar mais turbulento.
- Próximo da parede, $dT/dx \ll 1$, $T = T(y)$, e $v = V_0$, velocidade normal a parede (igual a zero a menos que a injeção ou sucção de massa), nestas condições a equação se reduz para:

$$V_0 \frac{\partial T}{\partial y} = - \frac{1}{\rho C_p} \frac{\partial \dot{q}''}{\partial y}$$

IM – 450 'Modelagem em Turbulência' - Prof. Eugênio Spanó Rosa FEM/DE UNICAMP



Trans Calor nas Camadas Viscosa e Log – Couette Flow



- Integrando-se da parede ($y = 0, \dot{q}'' = \dot{q}_w$ e $T = T_w$) até uma distância y a equação:

$$\rho V_0 \frac{\partial T}{\partial y} = - \frac{1}{\rho C_p} \frac{\partial \dot{q}''}{\partial y}$$

- Se encontra:
$$\frac{\dot{q}''}{\dot{q}_w} = 1 + \frac{\rho \cdot C_p \cdot V_0 (T_w - T)}{\dot{q}_w}$$

- A equação acima é válida somente para região $y^+ < 200$.
- Note que aproximando da borda externa da camada limite, \dot{q}/\dot{q}_w deve se aproximar de zero.
- Isto não é possível de se realizar na equação da aproximação de Couette.

IM – 450 'Modelagem em Turbulência' - Prof. Eugênio Spanó Rosa FEM/DE UNICAMP



Trans Calor nas Camadas Viscosa e Log – Couette Flow



- Adimensionalizando-se a equação em termos das variáveis internas:

$$t^+ = \left[(T_w - T) \sqrt{\tau_w / \rho} \right] / (\dot{q}_w'' / \rho C_p)$$

$$V_0^+ = V_0 / u^* = (V_0 / U_\infty) / \sqrt{C_f / 2}$$

- Se encontra:
$$\frac{\dot{q}''}{\dot{q}_w''} = 1 + V_0^+ t^+$$

IM – 450 'Modelagem em Turbulência' - Prof. Eugênio Spanó Rosa FEM/DE UNICAMP



Trans Calor nas Camadas Viscosa e Log – Couette Flow



- Sem injeção de massa a equação de Couette mostra que a razão dos fluxos de calor é constante:

$$\frac{\dot{q}''}{\dot{q}_w''} = 1$$

- Nosso modelo para fluxo de calor é composto por uma parcela do fluxo laminar e outra do fluxo turbulento:

$$\dot{q}'' = \rho C_p (\alpha_L + \alpha_T) \frac{dT}{dy}$$

- Utilizando o conceito de Prandtl turbulento, $Pr_t = \nu_T / \alpha_T$, vem que o fluxo de calor pode ser representado em função da viscosidade turbulenta:

$$\dot{q}'' = \rho C_p \left(\alpha_L + \frac{\nu_T}{Pr_t} \right) \frac{dT}{dy} = \dot{q}_w''$$

IM – 450 'Modelagem em Turbulência' - Prof. Eugênio Spanó Rosa FEM/DE UNICAMP



Trans Calor nas Camadas Viscosa e Log – Couette Flow



- Integrando-se para o perfil de temperatura:

$$\dot{q}_w'' = \rho C_p \left(\alpha_L + \frac{\nu_T}{Pr_t} \right) \frac{dT}{dy}$$

- obtêm-se

$$\int_{T_w}^T dT = - \frac{\dot{q}_w''}{\rho C_p} \int_0^y \frac{dy}{\left(\alpha_L + \frac{\nu_T}{Pr_t} \right)}$$

- em termos das coordenadas internas:

$$\frac{(T_w - T) \cdot u^*}{\frac{\dot{q}_w''}{\rho C_p}} = \int_0^{y^+} \frac{dy^+}{\left(\frac{1}{Pr} + \frac{1}{Pr_t} \frac{\nu_T}{\nu} \right)}$$

- ou

$$t^+ = \int_0^{y^+} \frac{dy^+}{\left(\frac{1}{Pr} + \frac{1}{Pr_t} \frac{\nu_T}{\nu} \right)}$$

IM – 450 'Modelagem em Turbulência' - Prof. Eugênio Spanó Rosa FEM/DE UNICAMP



Trans Calor nas Camadas Viscosa e Log – Couette Flow



- O perfil de temperatura é determinado a partir da integral:

$$t^+ = \int_0^{y^+} \frac{dy^+}{\left(\frac{1}{Pr} + \frac{1}{Pr t} \frac{v_T}{v} \right)}$$

- Note que sua solução depende do conhecimento de v_T que por sua vez depende do campo médio de velocidades e do comprimento de mistura.

$$v_T = \ell^2 \left(\frac{dU}{dy} \right)$$

IM – 450 'Modelagem em Turbulência' - Prof. Eugênio Spanó Rosa FEM/DE UNICAMP



Trans Calor nas Camadas Viscosa e Log – Couette Flow



- É usual dividir os limites da integral abaixo em duas regiões: transporte devido a difusão molecular e turbulenta. Este modelo é conhecido como modelo de duas camadas (Kays and Crawford):

$$t^+ = \int_0^{y_{crit}^+} Pr dy^+ + \int_{y_{crit}^+}^{y^+} Pr t \left(\frac{v}{v_T} \right) dy^+$$

- Onde y_{crit} demarca para o modelo a extensão das regiões onde a difusão molecular e turbilhonar agem. Ele é 'artificial' porque fisicamente eles agem simultaneamente na região do buffer.
- Para placa plana sem grad pressão, $Pr_t = 0.85$ (constante) $y_{crit} = 13.2$ e 7.55 para ar ($Pr = 0.7$) e água ($Pr = 5.9$). A integração resulta em:

$$t^+ = \int_0^{y_{crit}^+} Pr dy^+ + \int_{y_{crit}^+}^{y^+} \left(\frac{Pr t}{\kappa y^+} \right) dy^+ \equiv \frac{Pr t}{\kappa} Lny^+ + C_T(Pr)$$

IM – 450 'Modelagem em Turbulência' - Prof. Eugênio Spanó Rosa FEM/DE UNICAMP



Trans Calor nas Camadas Viscosa e Log – Couette Flow



- Os efeitos do gradiente de pressão também podem ser previstos pelo modelo de duas camadas:

$$t^+ = \int_0^{y_{crit}^+} Pr dy^+ + \int_{y_{crit}^+}^{y^+} Pr t \left(\frac{v}{v_T} \right) dy^+$$

- Neste caso Prt varia substancialmente na camada viscosa e a aproximação de um valor constante não é mais válida. Inserindo-se a como Prt varia com y^+ , o modelo captura as variações de t^+ com o gradiente de pressão.
- Note que isto não ocorre com o perfil de velocidades pois ele tem caráter universal na camada viscosa e log, isto é, todas as curvas se colapsam numa única curva.

IM – 450 'Modelagem em Turbulência' - Prof. Eugênio Spanó Rosa FEM/DE UNICAMP



Valores Reconhecidos para Prt



- Para Camadas Limites, Prt ~ 0.85
- Para tubos, Prt ~ 0.88

Valores de Prt para escoamentos sem paredes sólidas

	Correntes paralelas	jato plano	jato axi-simétrico	esteira plana
Prt	0.5	0.5	0.7	

IM – 450 'Modelagem em Turbulência' - Prof. Eugênio Spanó Rosa FEM/DE UNICAMP